

ном α заметно больше, чем для других исследованных добавок. Вид зависимости скорости метания смесевыми зарядами от содержания в них политетрафторэтилена (кривая 2) и вольфрама (кривая 3) тот же, что и для несжимаемой добавки (кривая 4). Для зарядов с вольфрамом имеется не только качественное, но и количественное согласие.

Сравнивая оценки метательного действия смесевых ВВ при различных видах испытаний, отметим близость их для торцевого и бокового метания, хотя количественное сравнение затруднено из-за отсутствия совпадающих объектов. Имеется согласие в изменении скоростей метания и бризантности зарядов, содержащих тальк и алюминий, однако эффекты при введении больших количеств вольфрама сильно различаются (бризантность изменяется значительно меньше скорости метания).

Итак, снижение скорости метания металлических пластин с торцевой поверхности зарядов, содержащих инертные добавки, в большой степени определяется при равном объемном или весовом содержании плотностями материалов добавки. Для зарядов со связующим получена слабая зависимость скорости метания от дисперсности добавки, в том числе и алюминия. Особенности динамической сжимаемости материалов добавок находят отражение в изменении скоростей метания зарядами смесевых ВВ.

Поступила в редакцию 15/II 1982

ЛИТЕРАТУРА

1. А. Я. Апин, Е. П. Бардин, Н. Ф. Велина.— В сб.: Взрывное дело. № 52/9. М.: Госгортехиздат, 1963.
2. J. W. Kury, H. C. Hornig. Simpos. N. D. P. Preprints. Paris, 1978.
3. И. М. Воскобойников, Н. Ф. Воскобойникова.— В сб.: Детонация. Матер. 2 Всесоюз. совещания по детонации. Вып. 2. Черноголовка, 1981.

РАСПРЕДЕЛЕНИЕ ПАРАМЕТРОВ СОСТОЯНИЯ ПРОДУКТОВ СФЕРИЧЕСКОЙ ДЕТОНАЦИИ

*C. A. Быстрев, B. A. Горев
(Москва)*

Рассматривается расходящаяся самоподдерживающаяся сферическая детонационная волна в газе. Существование такой волны доказано в [1, 2] и дано численное решение этой задачи.

В данной работе аналитически находится распределение параметров состояния продуктов сферической детонации. До тех пор, пока детонация не закончилась, движение ее продуктов автомодельно. Считая эти продукты идеальным газом, можно записать:

$$\frac{dy}{dx} = \frac{2yz^2}{x[(x-y)^2 - z^2]}, \quad (1)$$

$$\frac{dz}{dx} = \frac{4\delta yz(x-y)}{(1-2\sigma)x[(x-y)^2 - z^2]}, \quad (2)$$

$$y_{x=1} = 1/2 - \delta, \quad (3)$$

$$z_{x=1} = 1/2 + \delta. \quad (4)$$

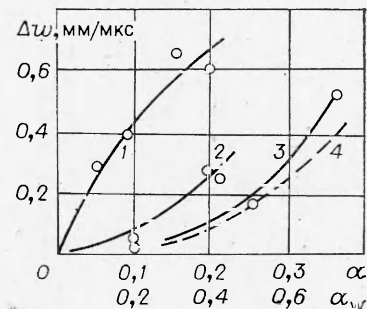
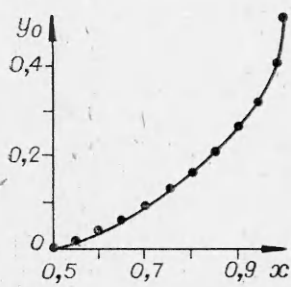


Рис. 2.



Rис. 1. Численное решение уравнения (6) (сплошная кривая), приближенное решение (точки) $y = 1/2 - [(1-x)/2]^{1/2}$.

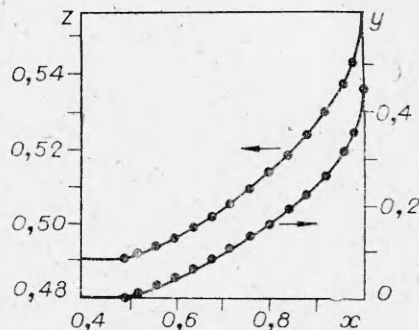


Рис. 2. Численные решения задачи (сплошные кривые), точки соответствуют полученному приближенному решению (8) и (9).

Обозначения: $x = r/Dt$; $z = c/D$; $y = v/D$; $\delta = (\gamma - 1)/2(\gamma + 1)$; D , c и v — скорости детонации, скорость звука в продуктах и скорость самих продуктов.

Приближенное решение системы (1)–(4) ищется с использованием метода асимптотических разложений по малому параметру δ . При $\delta = 0$ получается нулевое приближение для z и y

$$z_0 = 1/2, \quad \frac{dy_0}{dx} = \frac{2y_0}{x[4(x-y_0)^2 - 1]} \quad (5)$$

Решение уравнения (5) при условии $y_{0(x=1)} = 1/2$ можно представить в виде ряда по степеням $\eta = (1-x)/2$

$$y_0 = 1/2 - \eta^{1/2} + 1/3 \cdot \eta - 29/18 \cdot \eta^{3/2} + O(\eta^2). \quad (6)$$

Сравнение численного решения (5) с выражением (6) (рис. 1) показывает, что первые два члена ряда (6) хорошо описывают его. Итак, при $\delta = 0$

$$z_0 = 1/2, \quad y_0 = 1/2 - [(1-x)/2]^{1/2}.$$

В нулевом приближении газ движется только при $1/2 < x < 1$; при $x \leq 1/2$ газ покоятся согласно (6) и соображений симметрии в центре.

Пусть при δ , отличном от нуля, решение имеет вид

$$y = y_0 + \delta y_1, \quad z = z_0 + \delta z_1.$$

Подставляя эти выражения в систему (1)–(4) и приравнивая члены с одинаковыми степенями δ , можно получить приближенное решение задачи

$$y = \frac{1}{2} - \left(\frac{1-x}{2}\right)^{1/2} + \delta \left[-1 + \left(\frac{1-x}{2}\right)^{1/2} + \frac{20}{9} \left(\frac{1-x}{2}\right)\right],$$

$$z = \frac{1}{2} + \delta \left[1 - 2\left(\frac{1-x}{2}\right)^{1/2} - 2\left(\frac{1-x}{2}\right) + \frac{8}{3} \left(\frac{1-x}{2}\right)^{3/2}\right].$$

Сравнение полученного решения с результатами численного интегрирования системы (1)–(4) для $\gamma = 1,25$ показано на рис. 2. Максимальная ошибка в определении z для $1 \leq \gamma \leq 2$ не превышает 0,2%, а в определении скорости y — 1%.

Исследуем полученное решение. С хорошей степенью точности при $x = 1/2 - \delta/6$ $z = 1/2 - \delta/6$, а $y = 0$. Значит, радиус покоящегося газа $r_2 = (1/2 - \delta/6)Dt$.

Как известно [3], граница покоящегося ядра является слабым разрывом и движется с местной скоростью звука $c_2 = (1/2 - \delta/6)D$. Давление p_2 и плотность ρ_2 покоящихся в ядре продуктов детонации при $\gamma = 112$

= 1,25 и давлении детонации $p_1 = 19 \cdot 10^5$ Па находятся из выражений

$$p_2 = p_1(c_2/c_1)^{2\gamma/(\gamma-1)} = 5,5p_0,$$

$$\rho_2 = \rho_1(c_2/c_1)^{2/(\gamma-1)} = 0,67\rho_0,$$

где p_1 , ρ_1 и c_1 — давление, плотность и скорость звука на фронте детонации; p_0 и ρ_0 — давление и плотность исходного газа. Для полученного решения закон сохранения массы и энергии выполняется с точностью до 1 %. Используя его, можно вычислить распределение энергии: кинетическая энергия составляет 3 % от общей, а энергия покоящегося ядра — 7 %.

Итак, в работе впервые получены аналитические выражения для распределения параметров состояния продуктов сферической детонации, которые можно применять в широком диапазоне значений γ .

Поступила в редакцию 5/1 1982

ЛИТЕРАТУРА

1. Я. Б. Зельдович. ЖЭТФ, 1942, 12, 389.
2. Q. Taylor. Proc. Roy. Soc., 1950, A200, 235.
3. Л. Д. Ландау, Е. М. Лифшиц. Механика сплошных сред. М.: Гостехиздат, 1959.